

## 流路の拡幅現象に関する二、三の検討

京大防災研 正員 村本嘉雄 京大防災研 正員 ○ 藤田裕一郎

1. はしがき；河道の変動過程での主要な現象の一つに流路の拡幅現象があり、最近この現象と河床変動との関連機構の水理学的研究がなされているが、その水理学的解析法としては平野の研究と著者らのものがある。両者はともに流路側壁固定の河床変動の一次元解析法を拡張したもので、水流の連続式と運動式、流砂の連続式および流砂量式に側岸の連続式と侵食量式を加えて連立させて解析する方法である。側岸侵食量  $Q_s/(1-\epsilon)$  を著者らは側岸付近の摩擦速度  $U_{fr}$  ( $\epsilon$ : 摩擦速度分布の補正係数) を用い、Black Box的に  $Q_{sf} = \epsilon(1-\epsilon)N(\epsilon^2 - \epsilon_0)$ ,  $Q_{sf} = Q_s/U_{fr}$ ,  $\epsilon = U_{fr}^2/(\eta - 1)g d$ ,  $\epsilon_0 = U_{fr}^2/(\eta - 1)g d$  と示したが、平野は斜面上の流砂量とその方向を考察して、 $Q_{sf} = K/\mu \cdot 2h_B \sqrt{I_c}/\eta (\eta - \eta_c)$  としている。ここに、 $N, K$  は定数、 $\mu$  は砂の摩擦係数、他は横印の記号に従う。この解析法の問題点は、流水の抵抗則、流砂量式、側岸侵食量式等の仮定、断面形近似ならびに河床と側岸の連続のさせ方、側岸付近の水理条件の明確化、境界条件の設定および式の近似化等にある。本文では、給砂条件に対応した流路の拡幅過程と流路の平衡状態について考察するとともに、それを上流端で給砂する場合の境界条件に適用して上述の解析を行ない、結果と実験値との対応を検討する。

2. 一定給砂条件下での流路の拡幅過程と平衡状態；側壁固定の場合から類推して流砂量を  $Q_B = M_1(\eta - \eta_c)B U_{fr}$ 、抵抗則を  $U = Q/B h = C U_{fr}$  とすると、 $B = g Q I_c / C U_{fr}^3 \cdot \{1 - (\eta - 1)C Q_B / M_1 Q I_c\}^{1/2}$  となり、この関係を  $Q_B$  をパラメーターとして図-1に示す。側岸侵食量に著者らの式を用いれば、拡幅は  $\epsilon U_f = U_{fr}$  のとき停止し、さらに  $U_f = U_{fr}$  で  $Q_B = 0$  になる。これらの条件はそれぞれ  $B = \epsilon^2 Q I_c / C U_{fr}^3$ ,  $B = g Q I_c / C U_{fr}^3$  であって図-1に  $B_c$  条件、 $I_c$  条件として示される。さて、給砂条件としては、(1)給砂量  $Q_s >$  初期流砂量  $Q_{B0}$ , (2)  $Q_s = Q_{B0}$ , (3) 初期こう配  $I_c$  が保たれるようなら  $Q_s$ , (4) 初期流路幅  $B_0$  が  $B_c$  条件を満たす  $Q_B = Q_{Bc}$  に対して  $Q_{Bc} < Q_s < Q_{B0}$ , (5)  $Q_s = Q_{Bc}$ , (6)  $0 < Q_s < Q_{Bc}$  および(7)  $Q_s = 0$  が考えられる。拡幅は、(1)では図-1の経路①のように  $I_c$  を急速に増大して  $Q_B$  を  $Q_s$  まで増した後、 $Q_B = Q_s$  を満たすように  $I_c$  を増して進み、 $B_c$  条件に達して停止する。このとき  $B$  と  $I_c$  とか一一定で、河床にも一定の流砂量が存在しているので動的平衡状態が達成されている。ここで給砂がなければ  $B$  が一定のまま止むか減じて工条件で静的平衡状態が形成される。(2)では径路②のように初期から  $Q_B = Q_s$  を満たして進み、(3)では当然経路③のように横軸に平行に進んで  $B_c$  条件で停止する。(4)では経路④のように  $Q_B = Q_s$  となるまで  $I_c$  を減じながら、 $Q_B = Q_s$  となればそれを満たして  $I_c$  を増しながら拡幅する。(5)～(7)では初期に  $\epsilon U_f > U_{fr}$  のでやや拡幅するが  $I_c$  を急激に減じて、(5),(6)は  $B_c$  条件と工条件の間で動的平衡状態を、(7)は工条件上で静的平衡状態を形成すると考えられる。このように、Regime Theory といわれている側方侵食性流路の平衡状態は一定流量下では  $B_c$  条件、 $I_c$  条件によってその概念を明確にでき、 $\epsilon$  の検討が重要になる。固定床の掃流力分布より  $\epsilon = 0.75$  として、図-1の関係を実験値より検討したもののが図-2で、上流端( $U$ )を

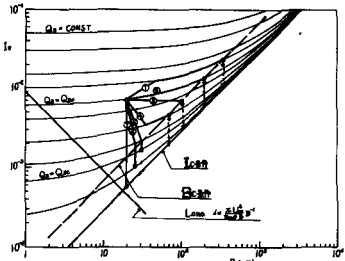


図-1 拡幅過程と平衡状態

印、下流端(D)を○印で示す。実験条件は、 $Q=1 \text{ l/sec}$ ,  $d_m=0.42 \text{ mm}$ (一様砂),  $B_0=30 \text{ cm}$ , 初期河岸高 $D=5 \text{ cm}$ ,  $I_0=1/200$ ,  $Q_s$ はExp IIで $0 \text{ cm}^3/\text{sec}$ , Exp IIIで $1 \text{ cm}^3/\text{sec}$ であり,  $N_1=3$ ,  $C=6$ ,  $U_{\text{ref}}=1.67 \text{ cm/sec}$ として計算してある。(U)での $Q_s$ の値は給砂量, (D)では図-3の流出土砂量の実測値と考えられる。水面波によるバラツキを考慮すれば、Exp IIでは、(U)はやや拡幅するか $I_e$ が急激に減少して静的平衡状態に移行しており、(D)は前半で $Q_s$ の減少に対応して $I_e$ を減じながら拡幅し、後半で $Q_s=1 \text{ cm}^3/\text{sec}$ に対応して拡幅している。Exp IIIでは、(U)は $Q_B=Q_s=1 \text{ cm}^3/\text{sec}$ で、この線に沿って拡幅し、 $B_0$ 条件付近で拡幅が停止しているようであり、(D)は $Q_s=2 \text{ cm}^3/\text{sec}$ に対応して拡幅していることがわかる。以上のように、拡幅過程と平衡状態の仮定は大体満足されているが、 $Q_B=Q_s$ に達するまでの過渡過程はこの検討からだけでは明確にできない。

3 境界条件の設定と解析結果の検討；前述の解析は既述の式の他に  $I_e = I_0 - \frac{\partial z}{\partial x}$ ,  $(1-\lambda)B \frac{\partial z}{\partial t} = \frac{\partial^2 z}{\partial x^2} + g_s$ ,  $g_s = (1-\lambda)(1-z) \frac{\partial B}{\partial t}$  を連立させてる。初期値を基準にした無次元量  $b=B/B_0$ ,  $\eta=1-\frac{z}{z_0}$  で整理すると、 $\dot{z} = \frac{I_0}{z_0} = 1 + \frac{D}{B_0} \frac{\partial z}{\partial x}$  で  $\frac{\partial z}{\partial t} = K_0(I_0 - \eta b^2) / b(1-\eta b)$ ,  $K_0 = (\eta-1)(z-z_0)/3(1-\lambda)CB_0$ ,  $\frac{\partial^2 z}{\partial x^2} = \epsilon g_s b^2 \frac{\partial b}{\partial x} = \epsilon g_s b^2 \frac{\partial^2 z}{\partial x^2} / (C^2 - z_0^2) / (C^2 - z_0^2) BD^2$ ,  $\eta = U_{\text{ref}}/U_0$ 。(添字(0)は初期値)となり、式は非線形なので差分化して数値解を求めるのはむづら。境界条件は、下流端では河床高一定、上流端では給砂のある場合Exp IIIのように $Q_s \neq Q_B$ なら過渡過程が短いので $Q_B=Q_s$ として、流砂量式と側岸侵食量式を連立させて求められる。すなまち、初期値と流砂量式から $Q_B=Q_s$ とすと $I_e$ を収束計算で求め、この値を用いて次の $B$ を決める。河床高も下流側から延長して計算できる。図-4にこうして求めた数値解を曲線で示し、実験値と比較してある。Exp VIは $I_0=1/100$ ,  $Q_s=2 \text{ cm}^3/\text{sec}$ で他の条件はExp IIIと同じで、 $N_1=2$ として計算してある。拡幅量は、解析結果では下流側が大きくなり、実験では上流側とくに給砂断面の近くで大きくなる傾向があるが、初期の対応は良好である。この主な理由は、拡幅後の水流の偏りや給砂分布の不均一などの影響で $Q_B=Q_s$ の条件が保たれないのである。

なお、実験値の整理や解析の数値計算には京大大型計算機センターのFACOM 230-60を用いたことを付記します。

〈文献〉 ①平野；土木学会論文報告集、第210号、1973。

②芦田・村本・奈良井；京大防災研年報、第14号B、1971。

③村本・田中・藤田；京大防災研年報、第15号B、1972。

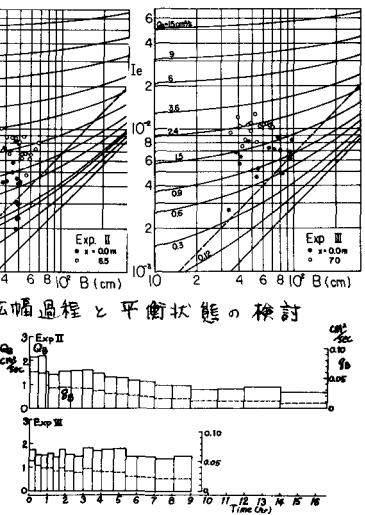


図-3 下流端流出土砂量

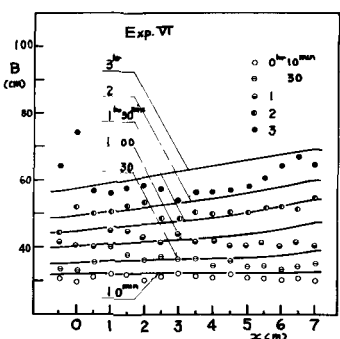
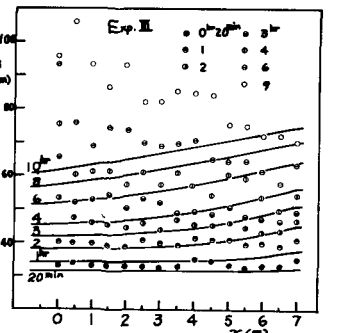


図-3 解析結果の検討